

PCはり曲げ-ねじり耐力試験について

京都大学 正員 岡田 清
 正員 吉岡保彦
 日本国有鉄道 正員 臼井幸彦

§ はじめに

ねじりおよびねじりを含む複合応力下における偏心PC部材の力学的挙動は、そのプレストレス勾配のため非常に複雑となり、プレストレスのねじりに対する有利性は、明らかであるものの、現状ではその有利性を定量的に把握するに至っていない。また偏心PC部材にねじり補強筋を配置した場合、その弾塑性的挙動は、Tに複雑化する。

本文は、特許曲げおよびねじりを受ける偏心PCはりについて、表-1に示す実験計画に従い、曲げモーメント(M)とねじりモーメント(T)の比(M/T)を純ねじりから純曲げまで6段階に変化させ静的荷重試験を行い、プレストレス勾配、断面形状、ねじり補強筋の有無の特性、強度特性、破壊機構等におよぼす影響を検討しようとするものである。

§ 実験概要

使用した試験はりの断面を図-1に示す。このはりは、高さ160cmであり、ねじり試験区間は、長さ70cmとした。ねじり補強筋には、φ6mmの硬鋼線を、使用し腹鉄筋の間隔は7cmとした。荷重試験中、はりの四面に貼付したロゼットゲージによるコンクリートのひび、トランスミタによる回転角、ダイヤルゲージによるたわみ、TにPC鋼棒および鉄筋のひびき等を測定した。

§ 実験結果

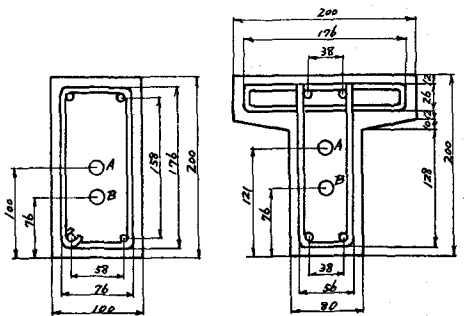
実験の結果、得られた破壊時における曲げモーメントとねじりモーメントの関係を図-2、図-3に示す。図-2は、各々純曲げ破壊モーメント M_{ou} 、純ねじり破壊モーメント T_{ou} に対する比で表わし、無次元化したものである。

はりの四面に貼付したロゼットゲージの読みから計算される主ひびきおよび主応力より判断し

表-1 実験計画表

断面形状	はりの種類	プレストレス算入量 (kg/cm)	ねじり補強筋の有無	荷重条件 (M/T)					
				0	1/2	1	2	4	∞
矩形	RP	—	無	2	—	—	—	—	—
	RW	—	有	2	—	—	—	—	—
	RUN	60	無	2	—	—	—	—	—
	REN	100	無	2	2	2	2	2	2
	REW	100	有	2	2	2	2	2	2
T形	TP	—	無	2	—	—	—	—	—
	TUN	60	無	2	—	—	—	—	—
	TEN	100	無	2	—	—	—	—	—
	TEW	100	有	2	2	2	2	2	2

- * Rは矩形断面、TはT形断面を意味し、P、Wはそれぞれ無筋コンクリート、鉄筋コンクリートを意味する。
- ** プレストレストコンクリートはりについては、Uは一律プレストレス分布、Eは偏心プレストレス分布を示し、W、Nはそれぞれねじり補強筋の有無を示す。
- *** 表示されているプレストレス算入量は、一律プレストレスの場合のみであり、偏心プレストレスの場合は、1/2下線に示す値であり、上線はプレストレスを示す。



* 鋼棒位置Aは一律プレストレス、Bは偏心プレストレスの場合である。

図-1 はり断面の寸法

初期ひびわれの発生箇所は表-2亦可より変化するものと考えられ、 M/t に対応して破壊形式もひびわれ変化する。ここでねじり型破壊はひびわれ発生と同時に同時に破壊に至り、へき剛性の破壊と呈するものであり、中間型破壊は破壊おほり下面での曲げひびわれの発生に始り、このひびわれが徐々に上へ進む高きまで進展し、 M/t から急激にへき剛性の破壊に至るものである。

5 ひびわれ

本実験の結果得られた結論を要約すると次のようになる。

(i) 曲げおよびねじりを受ける偏心PCはりでは曲げの割合が小さい範囲でそのねじり抵抗は増加するが、この増加率は断面形状、プレストレス導入量により影響を受ける。矩形はりの場合には、断面が正方形に近い程、純ねじり強度に対する M/t の強度増加率は大きいと考えらる。

(ii) 曲げおよびねじりを受ける偏心PCはりでは曲げモーメントとねじりモーメントの比が変化することにより、ひびわれの発生箇所、破壊形式が異なる。本実験の場合、ひびわれは純ねじりに近いときは、はり上面で発生し、ある程度曲げの割合が増加すると、はりの側面、さらに曲げの割合が増加するとはり下面で発生した。破壊形式としてはねじり型破壊、曲げ型破壊およびその遷移領域と考えらる中間型破壊が認めらる。

(iii) 曲げおよびねじりを受ける鉄筋偏心PCはりでは曲げの割合が増加するに従ってひびわれ後の耐力は増加する。

(iv) 曲げおよびねじりによる複合応力下では、矩形偏心PCはりおよびT形偏心PCはりの間本質的な差の相違は認めらるない。

参考文献: K. Okada, S. Nishibayashi and T. Abe, "Experimental studies on the strength of rectangular reinforced and prestressed concrete beams under combined flexure and torsion"; Trans. of JSCE, No. 131, July 1966, pp. 39-51

図-2 相関曲線 (破壊時)

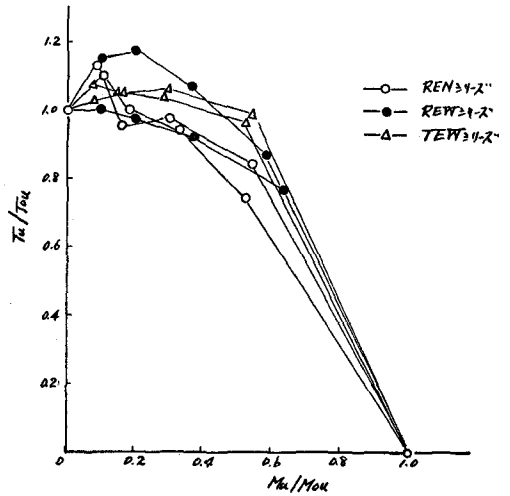


図-3 相関曲線 (破壊時)

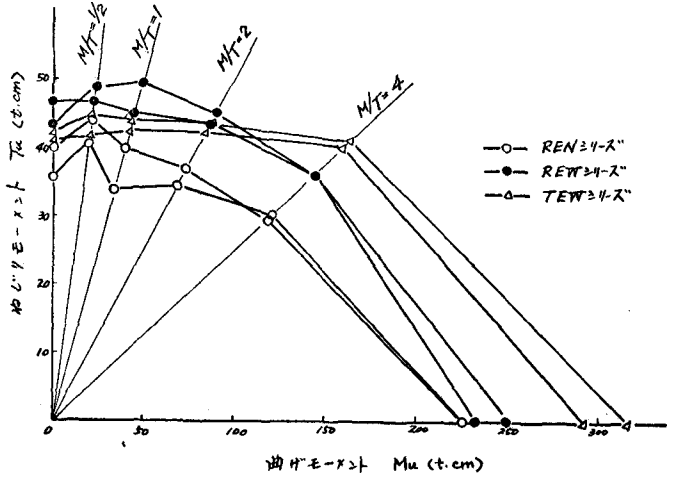


表-2 無筋偏心PCはりの破壊形式

断面形状	M/t	ひびわれ発生箇所		破壊形式	断面形状	M/t	ひびわれ発生箇所		破壊形式**
		上	側				上	側	
矩形	0	上		ねじり破壊	T形	0	上	上	ねじり破壊
	1/2		側	ねじり型破壊		1/2			ねじり型破壊
	1			"		1	上	上	"
はり	2	側	下	ねじり型破壊 ~中間型破壊	はり	2	側	側	"
	4		下	中間型破壊		4	下	下	中間型破壊
	∞			曲げ破壊		∞	下	下	曲げ破壊

** 実際には実験を行っていないが、矩形はりの場合から推定した。